

Разработка метода оптимизации траектории облета среды с препятствиями на основе кривых Безье с годографом Пифагора

К.Ю. Ганьшин, Д.Л. Винокурский, О.С. Мезенцева, Ф.В. Самойлов

Северо-Кавказский федеральный университет, Ставрополь

Аннотация: В статье описывается способ оптимизации процесса оптимизации траектории, путем замены рёбер траектории, на пространственные кривые Безье с годографом Пифагора.

Ключевые слова: алгоритмы генерации траекторий, методы построения формации групп БПЛА, математические модели БПЛА, многоагентные системы, кривые Безье, годограф Пифагора.

Актуальность задачи оптимизации траектории облета среды с препятствиями

На сегодняшний день стремительное развитие получают летательные робототехнические системы по типу малогабаритных мультироторных летательных аппаратов, которые способны не только перемещаться в воздушном пространстве, но и удерживать свою позицию в нём. Данные роботы используются во многих сферах: транспортировка объектов, обеспечение охранного периметра, службы спасения, проведение видеосъёмки, сканирование местности с целью получения трёхмерной её модели, картографирование земных поверхностей, применение в развлекательных шоу.

Анализ существующих подходов решения задачи траекторного управления группой автономных БПЛА показал, что использование современных автономных БПЛА в практике работы, например, службы спасения, требует высокой утилизации вычислительных ресурсов для картирования местности, построения траектории движения в различных областях (лес, горный рельеф), координирования группы и удержания формации группы автономных БПЛА. Для решения всех этих задач приходится увеличивать количество дорогого оборудования на каждом дроне, что приводит к их удорожанию, увеличению массы, потери

управляемости и раскоординации группы. Отсюда автономный БПЛА теряет возможность двигаться по заданной траектории, значительно увеличивается относительное отклонение от заданной траектории. Поэтому задача разработки математических методов построения гладких проходимых траекторий БПЛА с высокой масштабируемостью на группу является актуальной.

Определение пространственной кривой Безье пятого порядка с годографом Пифагора

Дадим определение термина *годограф*. Годограф – геометрический набор параметрической кривой, описываемый первой её параметрической кривой. Для пространственной кривой $r(t) = \{x(t), y(t), z(t)\}$ годограф будет представлен как $r'(t) = \{x'(t), y'(t), z'(t)\}$, где $x, y, z \in \mathbb{R}$. Если представить кривую n -ой степени параметризованными полиномами, то она примет следующий вид:

$$x(t) = \sum_{k=0}^n a_k t^k \quad y(t) = \sum_{k=0}^n b_k t^k \quad z(t) = \sum_{k=0}^n c_k t^k \quad (1)$$

Годограф подобной параметризованной кривой будет представлен в виде кривой $n-1$ -й степени, при этом для каждого t длина годографа [1] может быть выражена следующим образом:

$$\sigma(t) = |r'(t)| = \sqrt{x'^2(t) + y'^2(t) + z'^2(t)} \quad (2)$$

Если ввести длину кривой s , измеряемой вдоль $r(t)$, начиная от некой точки, то можно определить годограф как параметрическую скорость кривой:

$$\sigma(t) = \frac{ds}{dt}, \quad (3)$$

откуда уже можно выразить непосредственно длину кривой:

$$s(t) = \int_0^t \sqrt{x'^2(t) + y'^2(t) + z'^2(t)} dt \quad (4)$$

Сама же кривая будет обладать свойствами годографа Пифагора в том случае, если её компоненты и магнитуа $\sigma(t)$ будут являться элементами пифагоровой тройки. Представление подобной кривой в области вещественных чисел легко представить на плоскости [2]:

$$\sigma^2(t) = x'^2(t) + y'^2(t) \quad (5)$$

$$x'(t) = u^2(t) - v^2(t) \quad (6)$$

$$y'(t) = 2u(t)v(t) \quad (7)$$

Для построения пространственной кривой со свойствами годографа Пифагора, наиболее удобным решением будет переход в кватернионное пространство [3]. Так, годограф Пифагора в форме кватернионного полинома примет следующий вид:

$$r'(\xi) = \mathcal{A}(\xi)i\mathcal{A}^*(\xi) = [u^2(\xi) + v^2(\xi) - p^2(\xi) - q^2(\xi)]i + 2[u(\xi)q(\xi) + v(\xi)p(\xi)]j + 2[v(\xi)q(\xi) - u(\xi)p(\xi)]k \quad (8)$$

где

$$\mathcal{A}(\xi) = u(\xi) + v(\xi)i + p(\xi)j + q(\xi)k \quad (9)$$

$\mathcal{A}^*(\xi) = u(\xi) - v(\xi)i - p(\xi)j - q(\xi)k$ – сопряжённый к $\mathcal{A}(\xi)$ кватернион.

Из данных выражений выведем комплексные многочлены годографа Пифагора:

$$\alpha(\xi) = u(\xi) + iv(\xi), \quad \beta(\xi) = q(\xi) + ip(\xi) \quad (10)$$

и запишем параметрическую скорость:

$$\sigma(\xi) = |\alpha(\xi)|^2 + |\beta(\xi)|^2 \quad (11)$$

при этом $\sigma(\xi) = |\mathcal{A}(\xi)|^2 = |r'(\xi)|$.

Согласно [4], пространственные кривые пятой степени (квинтики) выражаются через комплексные квадратичные многочлены в форме Бернштейна следующим образом:

$$\begin{aligned} \alpha(\xi) &= \alpha_0(1 - \xi)^2 + \alpha_1 2(1 - \xi)\xi + \alpha_2 \xi^2, \\ \beta(\xi) &= \beta_0(1 - \xi)^2 + \beta_1 2(1 - \xi)\xi + \beta_2 \xi^2. \end{aligned} \quad (12)$$

Как утверждается в [5], благодаря методам на основе интерполяции Эрмита возможно построение кривой Безье со свойствами годографа Пифагора по нескольким параметрам [6], а именно: задание начальной и конечной точек кривой p_i, p_f , задание значения касательных при данных точках t_i, t_f и задание общей длины кривой S . Так, определим кватернионный многочлен $\mathcal{A}(\xi)$ следующим образом:

$$\mathcal{A}(\xi) = \mathcal{A}_0(1 - \xi)^2 + \mathcal{A}_1 2(1 - \xi)\xi + \mathcal{A}_2 \xi^2 \quad (13)$$

$$\mathcal{A}(\xi) = \alpha(\xi) + k\beta(\xi) \quad (14)$$

Задание мнимого элемента i кватерниона представлено в следующей форме:

$$\exp(\gamma i) = \cos \gamma + \sin \gamma i, \quad (15)$$

где γ – любое вещественное число. Интерполяция касательных при начальной и конечной точках t_i, t_f позволяет выразить коэффициенты \mathcal{A}_0 и \mathcal{A}_2 , выражаемые как

$$\mathcal{A}_0 = \alpha_0 + k\beta_0 \quad (16)$$

$$\mathcal{A}_2 = \alpha_2 + k\beta_2 \quad (17)$$

следующим образом:

$$\mathcal{A}_0 = w[c_i \exp(\phi_i i) + s_i k] \exp(\psi_0 i) \quad (18)$$

$$\mathcal{A}_2 = w[c_f \exp(\phi_f i) + s_f k] \exp(\psi_2 i) \quad (19)$$

где ψ_0, ψ_2 – свободные коэффициенты, w – коэффициент, обеспечивающий задание кривой с указанной её длиной, $c_i = \cos \frac{1}{2} \theta_i, c_f = \cos \frac{1}{2} \theta_f; s_i = \sin \frac{1}{2} \theta_i, s_f = \sin \frac{1}{2} \theta_f; \theta_i, \theta_f$ – полярные углы касательных t_i, t_f соответственно, ϕ_i, ϕ_f – азимутальные углы касательных t_i, t_f .

Далее, определим вектор d , через который будет произведено определение значения \mathcal{A}_1 :

$$d = 120\Delta p - 15w^2(t_i + t_f) + 5(\mathcal{A}_0 i \mathcal{A}_2^* + \mathcal{A}_2 i \mathcal{A}_0^*) \quad (20)$$

$$\mathcal{A}_1 = -\frac{3}{4}(\mathcal{A}_0 + \mathcal{A}_2) + \frac{\sqrt{d}}{4} \frac{|d|i+d}{||d|i+d|} \exp(\psi_1 i) \quad (21)$$

где ψ_1 – свободный параметр. Далее, пространственная кривая Безье может быть выражена в форме Бернштейна следующим образом:

$$r(\xi) = \sum_{i=0}^5 p_i \binom{5}{i} (1 - \xi)^{5-i} \xi^i \quad (22)$$

где p_i – контрольные точки [7]. Если принять контрольную точку $p_0 = p_i$, а $p_5 = p_f$, то все контрольные точки легко определимы через следующие выражения:

$$\begin{aligned} p_1 &= p_0 + \frac{1}{5} \mathcal{A}_0 i \mathcal{A}_0^* \\ p_2 &= p_1 + \frac{1}{10} (\mathcal{A}_0 i \mathcal{A}_1^* + \mathcal{A}_1 i \mathcal{A}_0^*) \\ p_3 &= p_2 + \frac{1}{30} (\mathcal{A}_0 i \mathcal{A}_2^* + 4 \mathcal{A}_1 i \mathcal{A}_1^* + \mathcal{A}_2 i \mathcal{A}_0^*) \\ p_4 &= p_3 + \frac{1}{10} (\mathcal{A}_1 i \mathcal{A}_2^* + \mathcal{A}_2 i \mathcal{A}_1^*) \\ p_5 &= p_4 + \frac{1}{5} \mathcal{A}_2 i \mathcal{A}_2^* \end{aligned} \quad (23)$$

Теперь возможно описание процесса оптимизации траектории. Предлагаемый способ оптимизации заключается в замене рёбер траектории, образованной алгоритмом RRT*, на пространственные кривые Безье с годографом Пифагора так, что каждая пара вершин, ранее образовывавшая ребро, станет конечными контрольными точками кривой [8 – 10]. Благодаря тому, что кривая задаётся с помощью касательных при точках, становится возможным производить сглаживание углов двух отдельно взятых рёбер таким образом, что БПЛА получает возможность обходить их с заранее заданной скоростью без существенного замедления и повышенных энергозатрат.

Процесс оптимизации сгенерированной траектории производится за счёт итеративной выборки трёх точек, начиная со стартовой точки. По каждым трём точкам осуществляется генерация кривой Безье с годографом Пифагора: точки проецируются на определяемую ими плоскость, осуществляется поиск дуги, на которой лежат заданные точки, после чего

вычисляется длина дуги, используемая в качестве параметра при задании кривой.

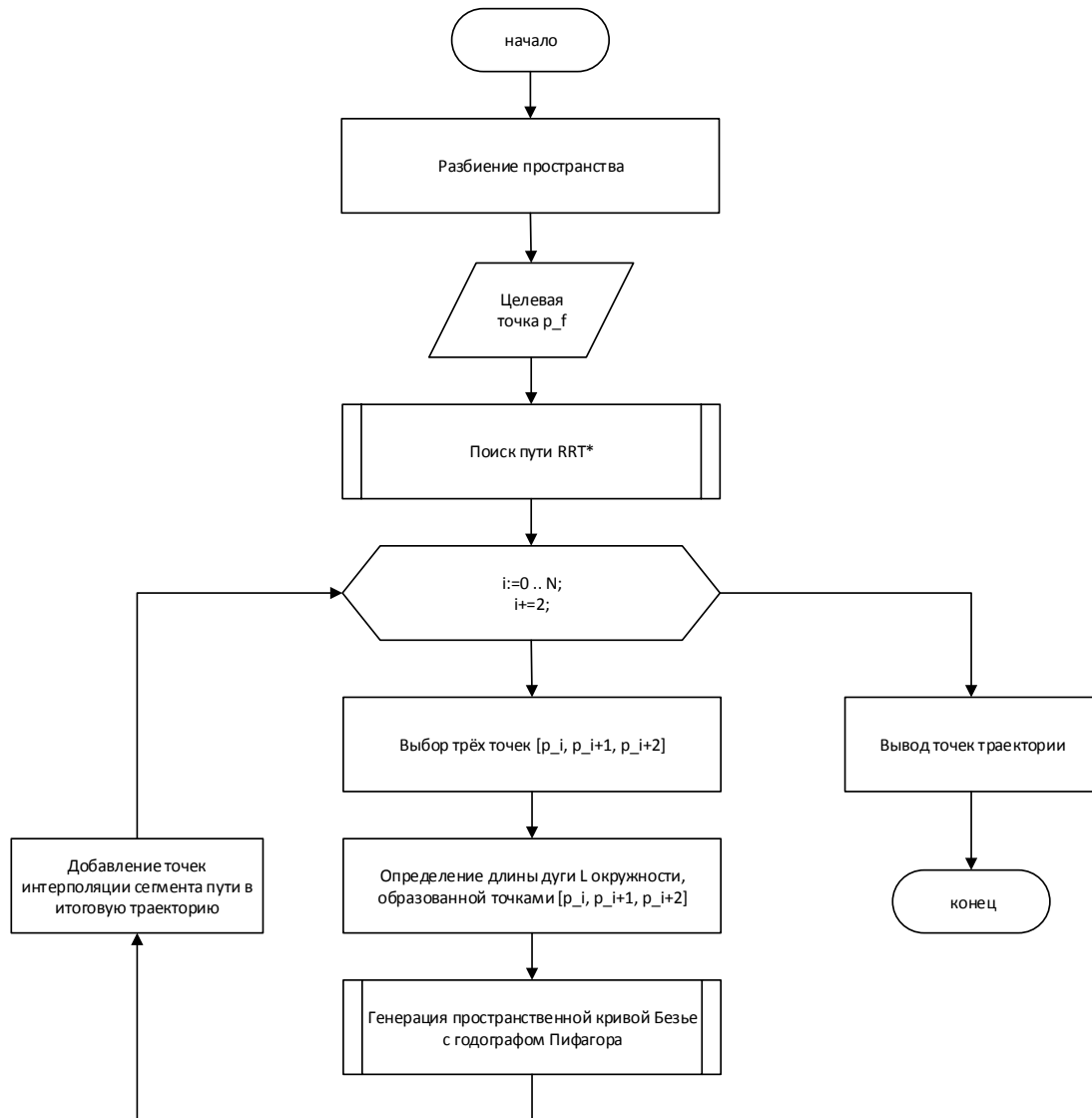


Рис. 1. – Блок-схема разработанного алгоритма построения оптимальных траекторий

Каждая отдельная кривая представлена набором промежуточных точек, попадающих в новое множество. По итогу, образованное множество точек может быть использовано для плавного перемещения агента к целевой точке [11].

Результаты вычислительных экспериментов

Оценка погрешности отклонения от траектории производилась по каждому отдельному агенту в группе БПЛА. На рис. 2 красная линия представляет сгенерированную траекторию, которую должен проходить БПЛА. Синяя линия представляет фактическую траекторию, пройденную отдельным БПЛА.

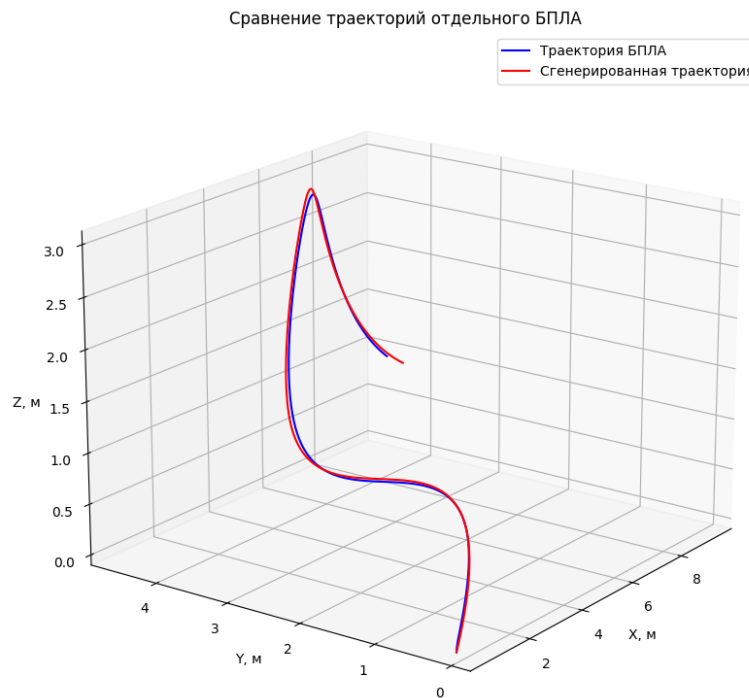


Рис. 2 – Сгенерированная и пройденная траектории при проведении испытания

Расчёт погрешности отклонения пройденной БПЛА траектории от сгенерированной при проведении испытания производился по формуле 24:

$$e_{traj}(t) = \frac{||p_{curve}(t)||_2 - ||p_{uav}(t)||_2}{||p_{curve}(t)||_2}, \quad (24)$$

где $t \in [0, \dots, T]$ – дискретные значения времени, $p_{curve}(t) \in \mathbb{R}^3$, $p_{uav}(t) \in \mathbb{R}^3$ – точка сгенерированной траектории и фактической пройденной траектории в момент времени t соответственно. Для повышения точности оценки ошибки проведено 1000 симуляционных испытаний. Сведение множества параметризованных значений ошибки к единому производится по формуле среднеквадратичного отклонения:

$$S(t) = \sqrt{\frac{1}{N} \sum_{i=1}^N (e_i(t) - \bar{e}(t))^2}, \quad (25)$$

где N – число симуляционных испытаний, $e_i(t)$ – точка параметризованной ошибки i -го симуляционного испытания в момент времени t , $\bar{e}(t)$ – среднее арифметическое значение параметризованной ошибки всех испытаний в момент времени t .

При вычислении ошибки по формуле (24), получим график, представленный на рис. 3. Как видно из графика, начальные шаги слежения обладают высокой ошибкой, что обусловлено началом поиска оптимальных решений и большой начальной дистанцией БПЛА от стартовой точки траектории. Уже через несколько шагов ошибка сходится к минимальному показателю, находящемуся в пределах 6.5-7%.

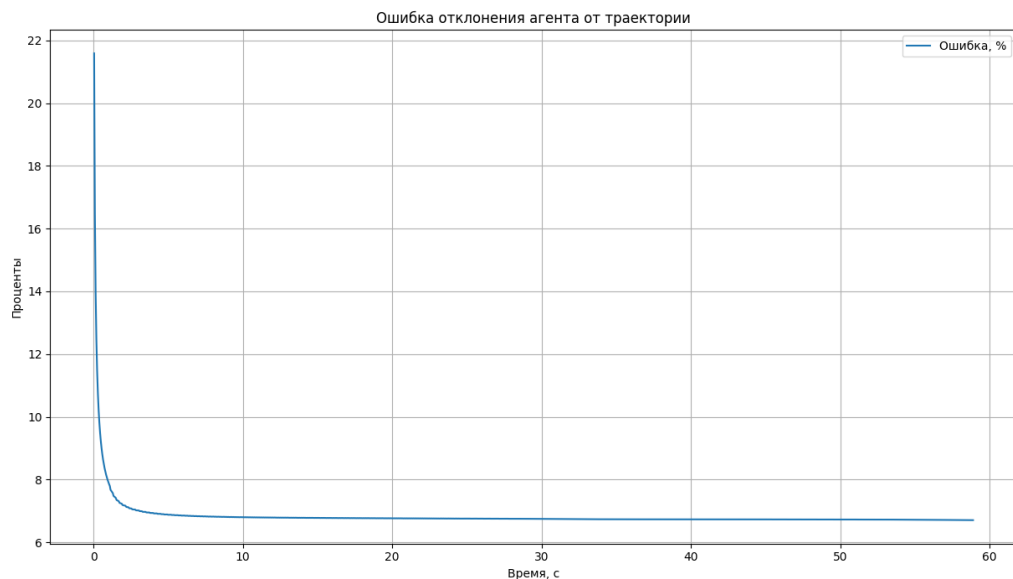


Рис. 3 – Наблюдаемая среднеквадратичная ошибка слежения траектории на основании 1000 симуляционных испытаний

Разработанный метод оптимизации траекторий движения БПЛА на основе пространственных кривых Безье 5-го порядка с годографом Пифагора, позволяет получать гладкие проходимые траектории [12].

Выполнено масштабирование метода оптимизации траекторий движения БПЛА на основе пространственных кривых Безье 5-го порядка с годографом Пифагора для кооперативного параллельного перемещения группы автономных БПЛА за счёт простой параметризации кривых Безье с годографом Пифагора. Метод позволяет устранить возникновение неустойчивых состояний и отклонений от заданной траектории отдельных автономных БПЛА, обусловленных резкими изменениями в узловых точках линейно-кусочных траекторий.

Заключение

В данной статье описан способ оптимизации процесса оптимизации траектории используя пространственные кривые Безье с годографом Пифагора так, что каждая пара вершин, ранее образующая ребро, станет конечными контрольными точками кривой. Поскольку кривая задаётся с помощью касательных в точках, становится возможным производить сглаживание углов двух отдельно взятых рёбер таким образом, что БПЛА получает возможность обходить их с заранее заданной скоростью без существенного замедления и повышенных энергозатрат.

Литература (References)

1. Meng J., Pawar V., Kay S., Li A. UAV path planning system based on 3D informed RRT* for dynamic obstacle avoidance, 2018// IEEE International Conference on Robotics and Biomimetics (ROBIO). IEEE, pp. 1653 – 1658.
2. Moon H.P., Farouki R.T., Choi H.I. Construction and shape analysis of PH quintic Hermite interpolants, 2001// Comput. Aided Geom. Des. Vol. 18, № 2. pp. 93–115.
3. Farouki R.T. Existence of Pythagorean-hodograph quintic interpolants to spatial G1 Hermite data with prescribed arc lengths, 2019 // J. Symb. Comput. Vol. 95. pp. 202–216.

4. Farouki R.T. Pythagorean-hodograph curves: Algebra and geometry inseparable, 2007, Berlin, Germany: Springer. pp. 523–542.
 5. Farouki R.T. Pythagorean hodograph curves in practical use, 1992// Geometry Processing for Design and Manufacturing. Society for Industrial and Applied Mathematics. pp. 3–33.
 6. Hyunchul Shim D., Kim H.J., Sastry S. Control system design for rotorcraft-based unmanned aerial vehicles using time-domain system identification, 2002 // Proceedings of the IEEE International Conference on Control Applications. Conference Proceedings (Cat. No.00CH37162). IEEE. pp.808 – 813.
 7. Chinedu Amata Amadi W.S. Design and implementation of Model Predictive Control on Pixhawk Flight Controller, 2018, Stellenbosch University. pp.70 – 112.
 8. Sa I., Kamel M. S., Khanna R., Popovic M., Nieto J. I., Siegwart R. Dynamic System Identification, and Control for a cost effective open-source VTOL MAV, 2017. pp 605 – 620.
 9. Sarim M., Nemati A., Kumar M., Cohen K. Extended Kalman Filter based quadrotor state estimation based on asynchronous multisensor data, 2015// ASME Dynamic Systems and Control Conference. American Society of Mechanical Engineers. pp. 1 – 10.
 10. Tsay T.-S. Guidance and Control Laws for Quadrotor UAV, 2014 // WSEAS. Vol. 9. pp. 606–613.
 11. Bansal S., Akametalu A., Jiang F., Laine F., Tomlin C. J. Learning quadrotor dynamics using neural network for flight control, 2016. arxiv.org/pdf/1610.05863.pdf.
 12. Garcia G.A., Kimet A. R. B., Jackson E., Keshmiri S. S., Shukla D. Modeling and flight control of a commercial nano quadrotor, 2017 // International Conference on Unmanned Aircraft Systems (ICUAS). IEEE. pp. 524 – 532.
-